

超流動

Ver.1.00

都築 岳
Gaku Tsuzuki

20 December, 2023

目次

第 1 章	超流動の歴史	2
1.1	History of cryogenic technology	2
1.2	Liquid He	2
第 2 章	基本的性質	3
2.1	^3He と ^4He の融解曲線	3
2.2	量子液体	4
2.3	Quantum mechanics	5
2.4	Basic properties of ^4He	7
第 3 章	超流動と粘性	8
3.1	超流体の満たす方程式	9
3.2	噴水効果 (fountain effect)	10
第 4 章	Bose-Einstein 凝縮 (BEC)	13

第 1 章

超流動の歴史

1.1 History of cryogenic technology

1. 1823 Farady による Cl_2 の液化反応の発見
2. 1908 Kamerlingh Onnes による He の液化反応の発見
 - ・液体 He の固相の探索をしたが, 見つからず
 - ・2.2K での比熱の異変
 - ・2.2K での粘度の抑制
 - 超流動の発見

1.2 Liquid He

量子液体であることが特徴. He 以外の原子は冷却すると必然的に固化するが, He のみ $T \rightarrow 0$ でも液体を維持する.

- ・小さい原子間引力
- ・小さい質量
- 大きな量子力学的な零点振動

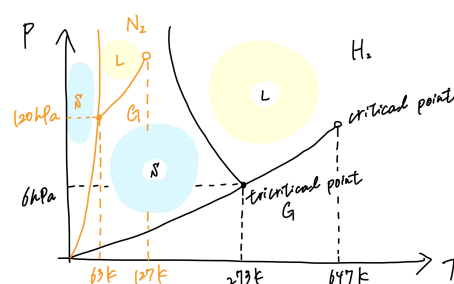


図 1.1: 水素と窒素の相図

第2章

基本的性質

2.1 ^3He と ^4He の融解曲線

^4He と ^3He の融解曲線を下に示す。

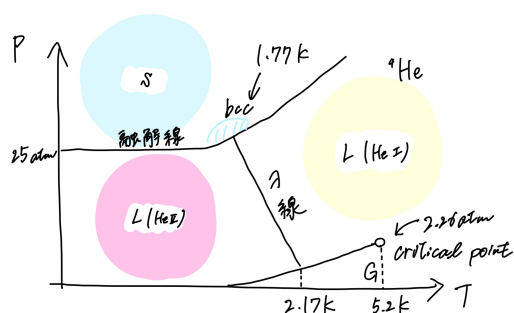


図 2.1: Phase diagram of ^4He

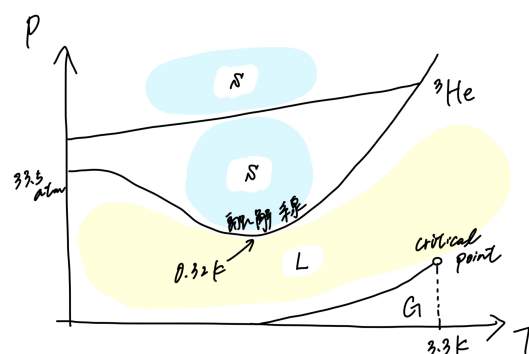


図 2.2: Phase diagram of ^3He

^4He においては、超流動層が HeII であり、常流動層が HeI である。 ^3He と 4 の共通の特徴としては主に以下のようなものが挙げられる。

1. T_c (臨界温度) はとても低い→ 液化は難しい
2. 3重点は存在しない. 常圧下では $T \rightarrow 0$ でも固化せず
3. 融解線は ^4He では水平, ローカルをとる. ^3He では低い温度 (0.32K) で最小値をとる

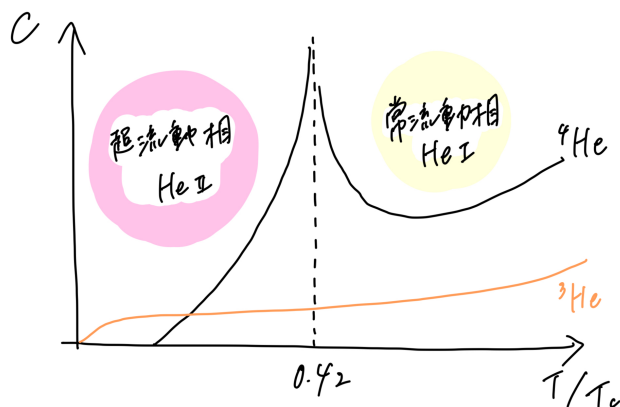


図 2.3: Difference in specific heat C of HeI と HeII
 $T_\lambda = 2.17\text{K}$

^4He には、超流動層の HeII と常流動層の HeI が存在するが、 ^3He には存在しない。

2.2 量子液体

引力的な原子間力 → 液化 → Lennard-Jones potential がよく用いられる。

$$V(r) = 4\epsilon \left\{ \begin{array}{l} \left(\frac{\sigma}{r}\right)^{12} \quad \text{電子間のパウリの排他律} \\ - \left(\frac{\sigma}{r}\right)^6 \quad \text{分極(ファンデルワールス力)} \end{array} \right\}$$

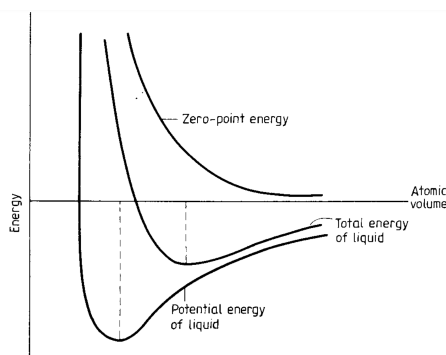


図 2.4: Lennard-Jones potential

この極小値付近が結晶・格子点まわりの微小振動であり、He の場合は $|\epsilon|$ が小さいため、零点振動が小さい

零点振動… 原子が極限までエネルギーを失ったとしても、不確定性原理より静止せず振動すること → この影響で He は $T = 0\text{K}$ でも固化しない。

液体 He 中を動く He 原子間の平均距離は $r_m - \sigma \equiv a$ であり、
不確定性関係より

$$\Delta p \approx \frac{\hbar}{a}$$

となる。

ここから零点エネルギーを見積もると、

$$E_{zp} = \frac{(\Delta p)^2}{2m} = \frac{1}{2m} \left(\frac{\hbar}{a}\right)^2 = \frac{\hbar^2}{2ma^2}$$

$$\rightarrow E_{zp} \simeq 16K > \epsilon (= 10K)$$

量子効果の大きさを表す指標である無次元パラメーター、 $a = \sigma$ として

$$\Lambda^* = \sqrt{\frac{Ep}{\epsilon}} = \frac{\hbar^2}{2ma^2} \times \frac{1}{\epsilon} \simeq \frac{\hbar}{\sigma\sqrt{m\epsilon}}$$

	Λ^*
${}^3\text{He}$	3.1
${}^4\text{He}$	2.6
Ne	0.6
⋮	
Xe	0.06

表 2.1

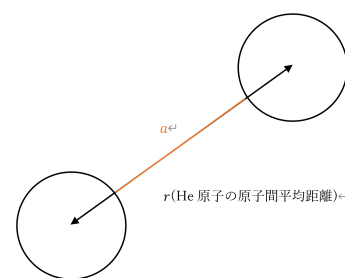


図 2.5

2.3 Quantum mechanics

1. Uncertainty principle
2. Quantization (discreteness)
3. Quantum statistics: Bosons, Fermions

${}^4\text{He}$ は $T_\lambda = 2.17K$ で BEC を起こし、超流動状態となる。

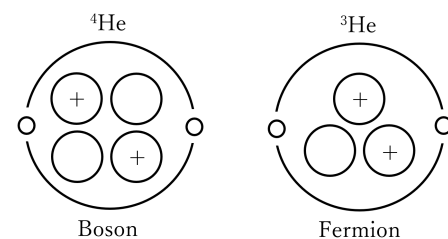


図 2.6

量子統計の違い (ボソンかフェルミオンか) が, ^4He と ^3He の巨視的な性質の違いを生み出している. ^3He は $T_\lambda = 2.17\text{K}$ で BEC を起こし, 超流動状態となる. では, 何故 ^4He の融解線は $T \rightarrow 0$ で水平になるのか.

Equation of Clausius-Clapeyrons を用いる.

$$\left(\frac{dP}{dT}\right) = \frac{\Delta S}{\Delta V} = \frac{S_L - S_S}{V_L - V_S}$$

通常,

$$S_L - S_S > 0$$

$$V_L - V_S > 0$$

また,

$$\left(\frac{dP}{dT}\right) > 0$$

^4He において, $\Delta S \rightarrow 0$ ($lowT$) \rightarrow 水平であるとき, 液体状態でも固体のような秩序ある状態となる.
The third law of thermodynamics $S = k \log W$ より, 完全結晶のエントロピーは絶対零度ではすべて等しい.

$$S \rightarrow 0 \text{ as } T \rightarrow 0$$

$$\rightarrow S_{L^{4\text{He}}} \approx 0 \text{ at } T = 0$$

$$\rightarrow \underline{\text{Bose Einstein Condensation}}$$

2.4 Basic properties of ^4He

- 1938年にTwo-fluid model(Superfluidity vs normalfluidity)
- Problems on vortices in superfluid
 \Rightarrow stability of the superfluid phase.
- Measurement of viscosity(粘度)
 viscosity η = 原子間相互作用による原子の運動量の緩和

超電導を分かりやすくすると、

1. 電子の流れ: 電位差=電流 \times 抵抗
2. 液体の流れ: 圧力差=流速 \times 抵抗

$T < 2.2\text{K}$ 以下で圧力差によらず、同じ流速.

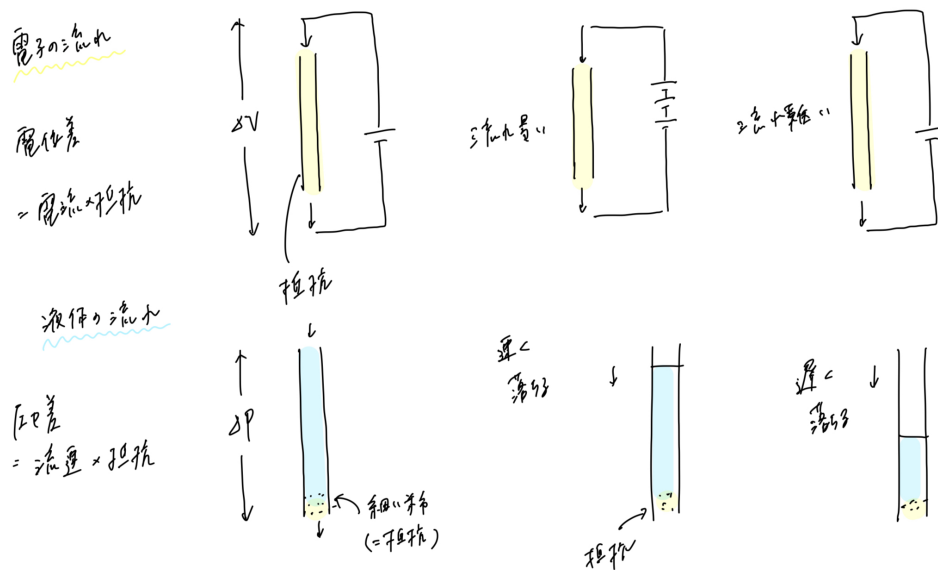
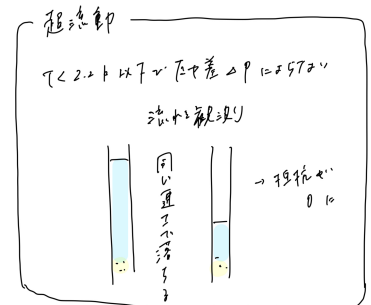


図 2.7: 電子と液体で比較した超流動

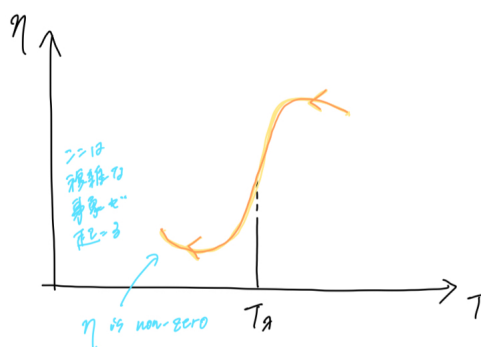
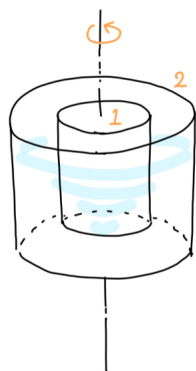
第3章

超流動と粘性

超流動 (super fluid)・・・回転粘性系の実験で $\eta > 0 (T < T_\lambda)$ となるのは, 速い速度で回転させることによって超流体内に渦 (vortex) が生じ, vortex のからみあった乱流状態が実現し, 新たな粘性を生み出した.

2 種の粘性実験から超流動の粘性の特徴がわかる.

・回転粘性計 (Rotational viscosimeter)



・細管 (capillary)

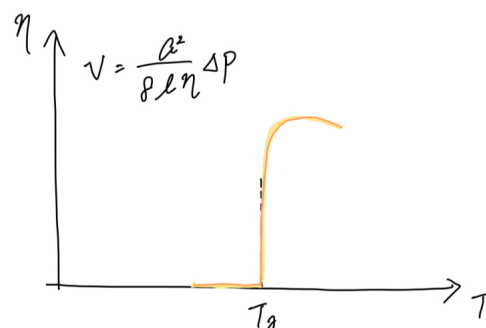
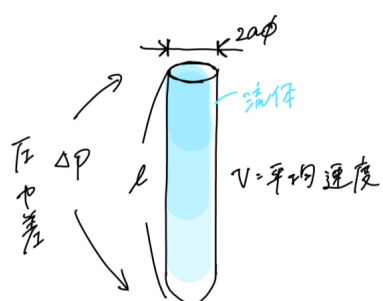


図 3.1: 回転粘性計と細管

$T < T_\lambda$ のとき,

	密度	速度場
超流体	ρ_s	\mathbf{v}_s
常流体	ρ_n	\mathbf{v}_n
全体	$\rho = \rho_s + \rho_n$	
運動量密度	$\mathbf{j} = \rho_s \mathbf{v}_s + \rho_n \mathbf{v}_n$	

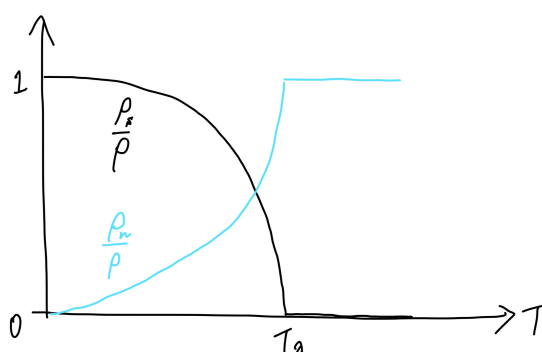


図 3.2: 超流動体と常流動体の密度比

3.1 超流体の満たす方程式

特徴として,

- ・ 理想気体のように粘性がない
- ・ エントロピーを伴わない

が挙げられる.

超流体の単位体積あたりの熱力学的エネルギーは,

$$\begin{aligned}
 dE &= TdS + d\left(\frac{\rho v_s^2}{2}\right) + \underline{\mu d\rho} \\
 &= TdS + \left(\mu + \frac{v_s^2}{2}\right) d\rho + \rho \mathbf{v}_s \cdot d\mathbf{v}_s
 \end{aligned}$$

上式は任意の \mathbf{r}, t において成立すると仮定すると,

$$\frac{\partial E(\mathbf{r}, t)}{\partial t} = \left(\mu + \frac{v_s^2}{2}\right) \frac{\partial \rho}{\partial t} + \rho \mathbf{v}_s \cdot \frac{\partial \mathbf{v}_s}{\partial t}$$

一方, ρ, E は保存量より

$$\begin{cases} \frac{\partial \rho}{\partial t} = -\nabla \cdot (\rho \mathbf{v}_s) \\ \frac{\partial E}{\partial t} = -\nabla \cdot \left[\left(\mu + \frac{\mathbf{v}_s^2}{2} \right) \rho \mathbf{v}_s \right] \end{cases}$$

以上3式から,

$$\begin{aligned} -\nabla \cdot \left[\left(\mu + \frac{\mathbf{v}_s^2}{2} \right) \rho \mathbf{v}_s \right] &= \left(\mu + \frac{\mathbf{v}_s^2}{2} \right) \{ -\nabla \cdot (\rho \mathbf{v}_s) \} + \rho \mathbf{v}_s \cdot \frac{\partial \mathbf{v}_s}{\partial t} \\ \rho \mathbf{v}_s \cdot \frac{\partial \mathbf{v}_s}{\partial t} &= - \left[\nabla \left(\mu + \frac{\mathbf{v}_s^2}{2} \right) \right] \rho \mathbf{v}_s \\ \therefore \frac{\partial \mathbf{v}_s}{\partial t} &= -\nabla \left(\mu + \frac{\mathbf{v}_s^2}{2} \right) \end{aligned}$$

よって, 超流体の運動は化学ポテンシャルの勾配によってもたらされる。

3.2 噴水効果 (fountain effect)

^4He の厚さ $d(h) = F(\underbrace{gh}_{\text{重力ポテンシャル}}, \underbrace{\phi}_{\text{vdw potential}}, \underbrace{P}_{\text{圧力}})$

Imposing $dT > 0$ at B

→ 温度差 → A-B 間に化学ポテンシャル差が生じる。

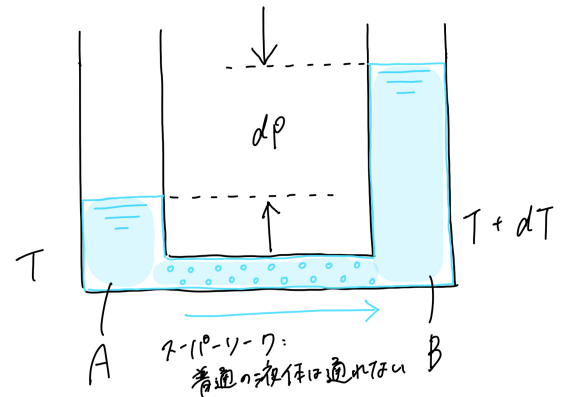
$$d\mu = \left(\frac{\partial \mu}{\partial P} \right)_T dP + \left(\frac{\partial \mu}{\partial T} \right)_P dT$$

結果だけ先に用いると,

$$\begin{cases} \left(\frac{\partial \mu}{\partial P} \right)_T = \frac{V}{N} = v = \frac{1}{\rho} \\ \left(\frac{\partial \mu}{\partial T} \right)_P = \frac{-S}{N} = -s \end{cases}$$

この化学ポテンシャル差 $d\mu$ より, 超流動は A から B へ加速される。

$$\therefore d\mu = \frac{1}{\rho} dP - s dT$$



超流動が移動して圧力差が生じると,

$$\Delta P = \frac{\rho s \Delta T}{\rho}$$

$$\rightarrow \mu = \frac{1}{\rho}(\rho s \Delta T) - s \Delta T = 0$$

流れが止まる平衡状態となる.

先ほど利用した化学ポテンシャルを導出する.
ギブスの自由エネルギーは,

$$dG = d \sum_{\alpha=1}^V N_{\alpha} \mu_{\alpha} \quad (\alpha = 1, 2, \dots, V)$$

$$= \sum \mu_{\alpha} dN_{\alpha} + \sum N_{\alpha} d\mu_{\alpha}$$

一方,

$$dG = -SdT + VdP + \sum \mu_{\alpha} dN_{\alpha}$$

$$\therefore -SdT + VdP - \sum N_{\alpha} d\mu_{\alpha} = 0$$

T, P が定数のとき,

$$\sum N_{\alpha} d\mu_{\alpha} = 0$$

気相'-液相''の熱平衡

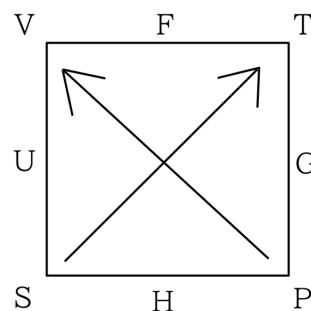
$$\rightarrow \mu'(T, P) = \mu''(T, P)$$

$$\begin{cases} \mu'(T, P) = \mu''(T, P) \\ \mu'(T + dT, P + dP) = \mu''(T + dT, P + dP) \end{cases}$$

$$\therefore d\mu' = d\mu''$$

$$\left(\frac{\partial \mu'}{\partial T} \right)_P dT + \left(\frac{\partial \mu'}{\partial P} \right)_T dP = \left(\frac{\partial \mu''}{\partial T} \right)_P dT + \left(\frac{\partial \mu''}{\partial P} \right)_T dP$$

$dP = 0$ (等圧) のとき, ギブスの自由エネルギーから



$$\begin{aligned}
 -SdT - Nd\mu &= 0 \\
 \rightarrow \left(\frac{\partial \mu}{\partial T} \right)_P &= -\frac{S}{N} \equiv -s
 \end{aligned}$$

$dT = 0$ (等温) のとき,

$$\begin{aligned}
 VdP - Nd\mu &= 0 \\
 \rightarrow \left(\frac{\partial \mu}{\partial P} \right)_T &= \frac{V}{N} \equiv v
 \end{aligned}$$

したがって,

$$-s'dT + v'dP = -s''dT + v''dP$$

$$\begin{aligned}
 \therefore -s' + v' \frac{\partial P}{\partial T} &= -s'' + v'' \frac{\partial P}{\partial T} \\
 (v' - v'') \frac{\partial P}{\partial T} &= -s'' + s' \\
 \frac{\partial P}{\partial T} &= \frac{s' - s''}{v' - v''} \\
 &= \frac{l}{T(v' - v'')} \\
 l &= (s' - s'')T \quad \text{Clapeyron - Clasius の式}
 \end{aligned}$$

これが1分子当たりの蒸発熱を示す

第 4 章

Bose-Einstein 凝縮 (BEC)

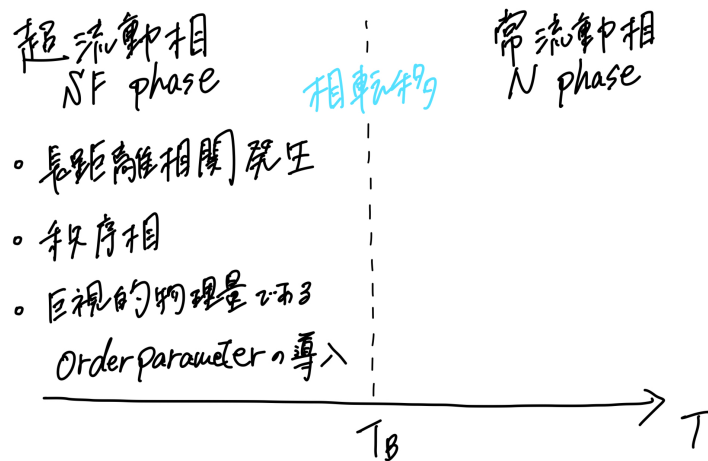


図 4.1: 相互作用のない理想 Bose 系

体積 V の中に N 個の Bose 粒子があったとき、ひとつのエネルギー準位を任意の個数の粒子が占めることができる。